

# Оптимизация перспективных постквантовых алгоритмов на малоресурсных микроконтроллерах

---

ОЛЕГ ТАРАСКИН

ЗАО “АКТИВ-СОФТ”

# Постквантовые алгоритмы

---

Теория кодов испр. ошибки

McEliece

Теория решеток:

NTRU, LWE, R-LWE

Хэши :

Merkle hash the signature

Multivariate

HFE

Изогении эл. кривых:

SIDH

# Краткая история

---

2006:

**“Public-Key Cryptosystem Based on Isogenies”**

Alexander Rostovtsev, Anton Stolbunov

2010:

**Constructing elliptic curve isogenies in quantum subexponential time**

Andrew M. Childs, David Jao , Vladimir Soukharev

2011:

**“Towards Quantum-Resistant Cryptosystems from Supersingular Elliptic Curve Isogenies”**

David Jao, Luca De Feo

2016:

**“Efficient algorithms for supersingular isogeny Diffie-Hellman”**

Craig Costello and Patrick Longa and Michael Naehrig

# Области применения изогений

---

Алгоритм SEA (Shoof–Elkies–Atkin) для подсчета точек на кривой

Защита от атак по побочным каналам.

Исследования стойкости кривых, методом приведения

Аналог Диффи-Хеллмана

ЭЦП

# Эллиптические кривые

---

$\text{GF}(p^n)$ ,  $p$  - характеристика

для  $p > 3$  сокр. форма Вейерштрасса :

Элл. кривая  $E$  :  $y^2 = x^3 + Ax + B$

где  $4A^3 + 27B^2$  не равно 0

$j$ -инвариант кривой  $E$  :

$$j(E) = 1728 \frac{4A^3}{4A^3 + 27B^2}$$

У изоморфных кривых над одним полем  $j$ -инварианты равны.

# Эллиптические кривые

---

порядок группы точек кривой  $E$  :

$$\#E(\text{GF}(p^n)) = p^n + 1 - t$$

где  $t$  – след Фробениуса.

Если  $t \equiv 0 \pmod{p}$  ->  $E$  – суперсингулярная кривая, иначе – обычная.

MOV – атака: у суперсингулярных кривых задача ECDLP для кривой  $E(\text{GF}(p^n))$  сводится к решению DLP над полем  $\text{GF}(\text{GF}(p^{n*k}))$ , где  $k$  - небольшое натуральное число.

Суперсингулярные и даже “гладкого” порядка кривые можно использовать в криптосистемах с изогениями:

Безопасность изогений не зависит от сложности решения ECDLP использующихся в них кривых. Скорее – наоборот !

# Эллиптические кривые

---

Подгруппа кручения (torsion subgroup) порядка  $n$  :

$$E[n] = \{ P \in E(\overline{F}_q) : n \cdot P = \infty \}$$

$E[n]$  изоморфна  $(\mathbb{Z}/n\mathbb{Z})^2$  при  $n \perp q$

# Изогении

---

Пусть  $E_1$  и  $E_2$  эл. кривые над полем  $F$

Изогией  $E_1 \rightarrow E_2$  над  $F$  называется неконстантное рациональное отображение над  $F$ , которое также является групповым гомоморфизмом

$$(x, y) \longmapsto \left( \frac{f_1(x,y)}{f_2(x,y)}, \frac{g_1(x,y)}{g_2(x,y)} \right), \text{ где } f_1, f_2, g_1, g_2 \text{ – полиномы}$$

Степенью изогагии называется степень рационального отображения

(в случае сепарабельной изогагии она равна порядку ядра гомоморфизма)

Теорема Tate :

Две кривые изогагены тогда и только тогда, когда порядки их групп равны.

# Пример

---

$$F = GF(29), \quad E1: y^2 = x^3 + 9x + 19$$

$$E2: y^2 = x^3 + 5$$

$$\#E1 = \#E2 = 30$$

$$(x, y) \longrightarrow \left( \frac{x^3 + 13x^2 + 2x + 8}{x^2 + 13x + 6}, \frac{x^3y + 5x^2y - 7xy - 3y}{x^3 + 5x^2 - 11x + 10} \right)$$

Степень изогении = 3

Ядро изогении – подгруппа порядка 3

# Изогении

---

Эндоморфизм – это изогения кривой на саму себя.

Примеры:

Скалярное умножение точки

Эндоморфизм Фробениуса для кривой  $E$  над полем  $GF(p^n)$  :

$$(x, y) \longrightarrow (x^p, y^p)$$

$$\infty \longrightarrow \infty$$

# Алгоритм Velu (1971)

---

Вход: кривая  $y^2 = x^3 + Ax + B$ , подгруппа  $C$

Выход: изогенная кривая и рациональное отображение

Сложность :  $O(\#N)$

1. Отбрасываем точку на бесконечности
2.  $C_2$  - мн-во точек кручения порядка 2 из  $C$ ,  $R$  все остальные
3. Разбиваем  $R$  на две части  $R_+$  и  $R_-$  : если точка  $P$  – в  $R_+$  то обратная ей – в  $R_-$
4. Мн-во  $S = C_2 \cup R_+$

# Алгоритм Velu

---

Для каждой точки  $Q = (x_Q, y_Q) \in S$  :

$$g_Q^x = 3x_Q^2 + A$$

$$g_Q^y = -2y_Q$$

$$v_Q = \begin{cases} g_Q^x & \text{если } Q = -Q \\ 2g_Q^x, & \text{если } Q \neq -Q \end{cases}$$

$$u_Q = (g_Q^y)^2$$

$$v = \sum_{Q \in S} (v_Q) \quad , \quad w = \sum_{Q \in S} (u_Q + x_Q v_Q)$$

Коэфф. Уравнения изогенной кривой  $E'$  :  $A' = A - 5v$  ,  $B' = B - 7w$

# Алгоритм Velu

---

Отображение :

$$(x, y) \longrightarrow (\alpha, \beta)$$

$$\alpha = x + \sum_{Q \in S} \left( \frac{v_Q}{x - x_Q} - \frac{u_Q}{(x - x_Q)^2} \right)$$

$$\beta = y + \sum_{Q \in S} \left( u_Q \frac{2y}{(x - x_Q)^3} - v_Q \frac{y - y_Q}{(x - x_Q)^2} - \frac{g_Q^x g_Q^y}{(x - x_Q)^2} \right)$$

# Сложная задача

---

Даны две изогенные кривые  $E_1$  и  $E_2$ .

Требуется найти изогению между ними.

Обычные эл. кривые:

Классическая атака:  $O(q^{1/4})$  Galbraith, Hess, Smart (GHS – атака 2002 г)

Атака на квантовом компьютере: (субэкспоненциальная) Childs, Jao, Soukharev 2010 г

Суперсингулярные эл. кривые над полем  $GF(p^2)$ :

Классическая атака:  $O(p^{1/4})$

Атака на квантовом компьютере:  $O(p^{1/6})$

# Выбор типа поля суперсингулярных кривых

---

Поле	число $j$ - инвариантов
$GF(p)$	$\sim p^{1/2}$
$GF(p^n)$	$\sim \frac{p}{12}$

# Граф изогений суперсингулярных кривых

---

Граф изогений представляет собой правильный граф.

Для простого числа  $l$  существует  $l + 1$  изогений эллиптических кривых степени  $l$  в расширении поля  $K$

# Граф изогений суперсингулярных кривых

---

Пример :

$P = 241$  #J-inv = 20 ( $\sim 241/12$ )

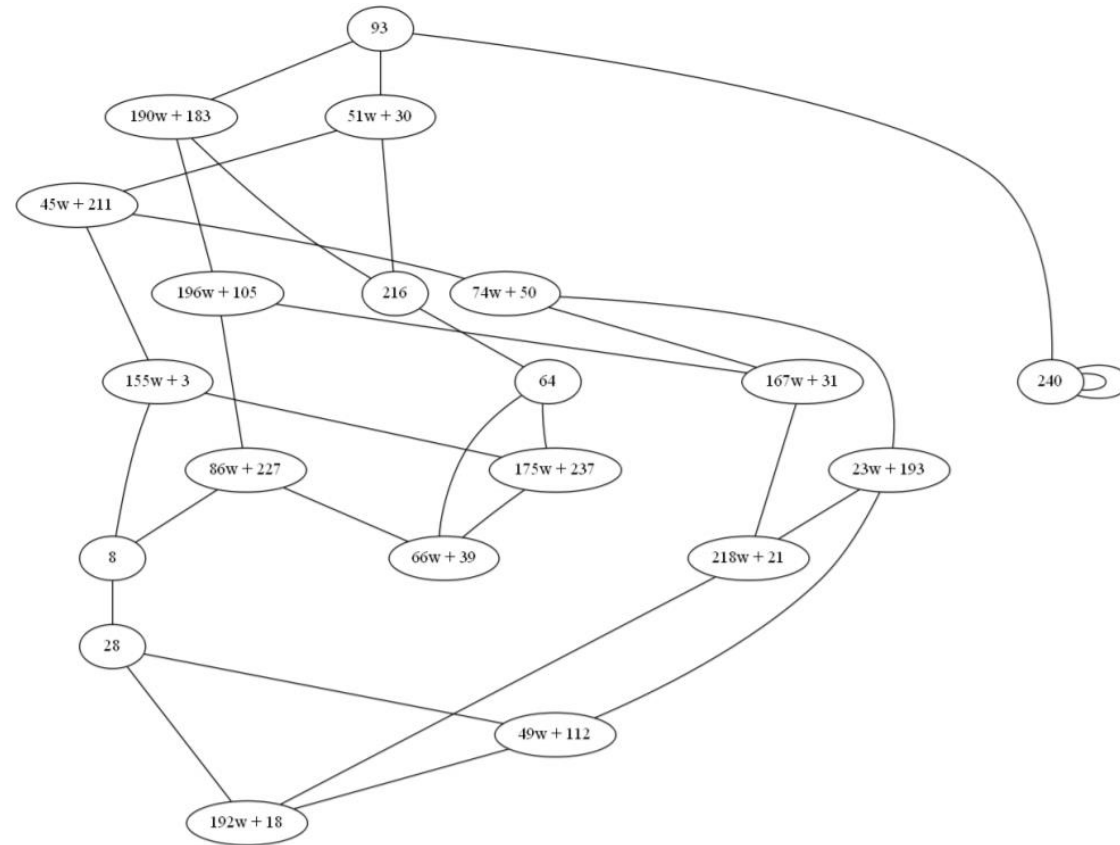
$GF(241^2)$ , неприводимый многочлен :  $x^2 + 238x + 7$

Множество j-инвариантов :

93,  $51w + 30$ ,  $190w + 183$ , 240, 216,  $45w + 211$ ,  $196w + 105$ , 64,  $155w + 3$ ,  $74w + 50$ ,  $86w + 227$ ,  
 $167w + 31$ ,  $175w + 237$ ,  $66w + 39$ , 8,  $23w + 193$ ,  $218w + 21$ , 28,  $49w + 112$ ,  $192w + 18$

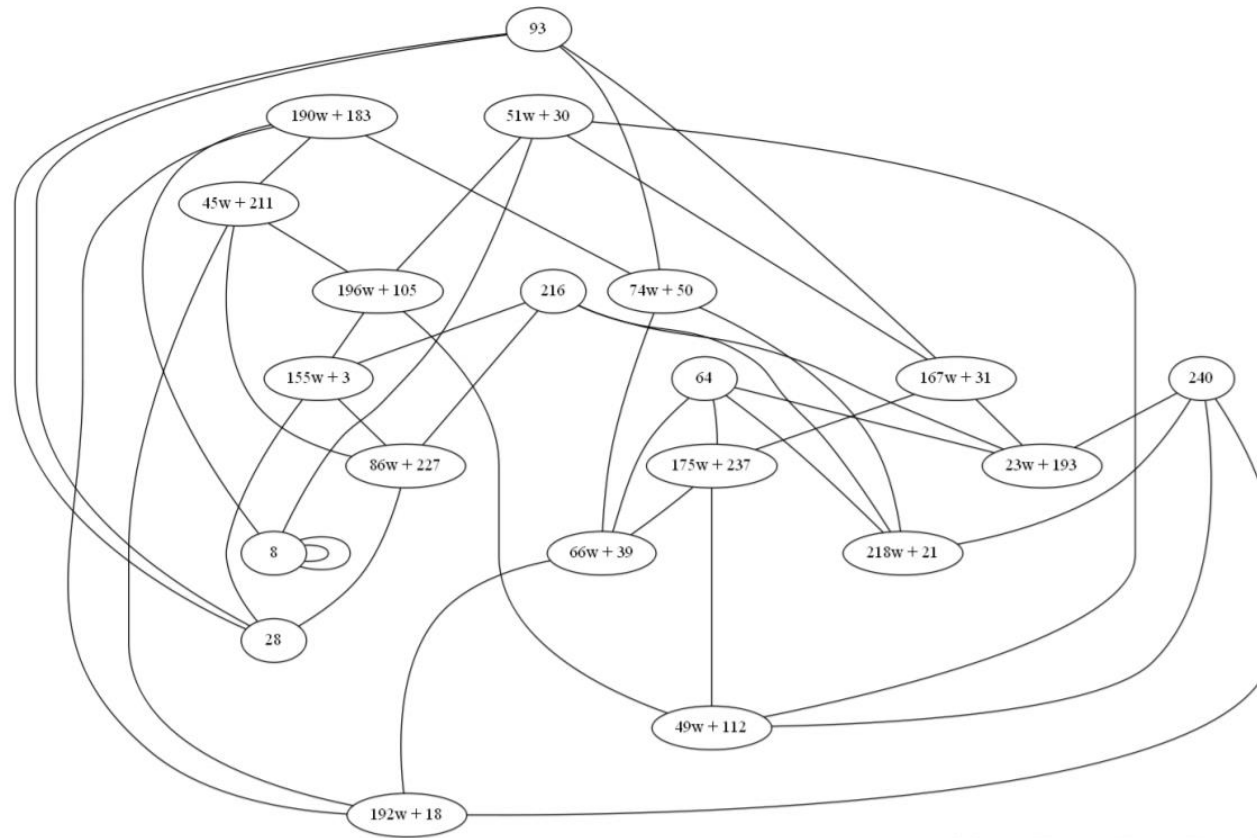
# Степень = 2

---



# Степень = 3

---



# Выбор поля для суперсингулярных КРИВЫХ

---

Выбираем поле  $\text{GF}(p^2)$

Для  $p = l_a^{e_a} l_b^{e_b} f \pm 1$

$$\text{---} > \#E = (l_a^{e_a} l_b^{e_b} f)^2$$

$E[l_a^{e_a}]$  содержит  $l_a^{e_a-1} (l_a + 1)$  цикл. подгрупп порядка  $l_a^{e_a}$

# Выбор поля для суперсингулярных кривых

---

Пусть  $l_a = 2$ ,  $l_b = 3$

----> Характеристика поля :  $p = 2^m 3^n f \pm 1$

Где  $f$  – небольшое число,  $2^m$  приблизительно равно  $3^n$

$$\#E = (2^m 3^n f)^2$$

Подгруппы кручения  $E[2^m]$  и  $E[3^n] \subseteq E(p^2)$

$E[2^m]$  содержит  $2^{m-1} (2+1) = 3 * 2^{m-1}$  цикл. подгрупп порядка  $2^m$

$E[3^n]$  содержит  $3^{n-1} (3+1) = 4 * 3^{n-1}$  цикл. подгрупп порядка  $3^n$

# Коммутативная диаграмма

---

$$\begin{array}{ccc} E & \xrightarrow{\phi} & E/\langle P \rangle \\ \psi \downarrow & & \downarrow \\ E/\langle Q \rangle & \longrightarrow & E/\langle P, Q \rangle \end{array}$$

# SIDH (supersingular isogeny Diffie-Hellman) Jao, De Feo (2011)

---

$$P_a, Q_a \in E[2^m]$$

Алиса

Ген. случ.  $0 < a_1, a_2 < 2^m$ ,

$$G_a = a_1 * P_a + a_2 * Q_a$$

и изогению  $\varphi_A : E \rightarrow E_a$

$$E_a = E / \langle G_a \rangle$$

$$P_b, Q_b \in E[3^n]$$

Боб

Ген. случ.  $0 < b_1, b_2 < 3^n$

$$G_b = b_1 * P_b + b_2 * Q_b$$

и изогению  $\varphi_B : E \rightarrow E_b$

$$E_b = E / \langle G_b \rangle$$

$$E_a, \varphi_A(P_b), \varphi_A(Q_b) \text{ ----->}$$

$$E_{ba} = E_b / \langle b_1 * \varphi_A(P_b) + b_2 * \varphi_A(Q_b) \rangle$$

$$\text{<-----} E_b, \varphi_B(P_a), \varphi_B(Q_a)$$

$$E_{ab} = E_b / \langle a_1 * \varphi_B(P_a) + a_2 * \varphi_B(Q_a) \rangle$$

$$E_{ab} = E_{ba}$$

# Безопасность алгоритма

---

	Алиса	Боб
Классическая	$\sqrt{2^m}$	$\sqrt{3^m}$
Квантовая	$\sqrt[3]{2^m}$	$\sqrt[3]{3^m}$

Для успешной атаки надо найти путь хотя бы на одном из графов :

Квантовый уровень безопасности =  $\min(\sqrt[3]{2^m}, \sqrt[3]{3^m}) \approx p^{\frac{1}{6}}$

Классический уровень безопасности =  $\min(\sqrt{2^m}, \sqrt{3^m}) \approx p^{\frac{1}{4}}$

# Вычисление изогений степени $l^e$

---

Пусть  $P$  – точка порядка  $l^e$ . Необходимо подсчитать изогению  $\varphi : E \rightarrow E / \langle P \rangle$

Разложим  $\varphi$  на  $\varphi_{e-1} * \varphi_{e-2} * \dots * \varphi_0$ ,

$$\varphi_0 = E, \quad P_0 = P$$

$$\varphi_i : E_i \rightarrow E_{i+1}, \quad E_{i+1} = E_i / \langle l^{e-i-1} * P_i \rangle, \quad P_{i+1} = \varphi(P_i)$$

Т.е. вычисление изогении степени  $l^e$  требует  $e - 1$  шагов с использованием Velu и скалярным умножением точки на число  $l$

# Пример для $l^5$

---

Пусть имеется точка  $P$  порядка  $l^5$

Требуется вычислить изогению  $E \rightarrow E / \langle P \rangle$

Метод 1 : Подать на вход алгоритма Velu точку  $P$ , выполнить  $\sim \frac{l^5}{2}$  шагов и получить  $E / \langle P \rangle$

Метод 2 :

$$\varphi = \varphi_4 * \varphi_3 * \varphi_2 * \varphi_1 * \varphi_0$$

$$\varphi_0 = E_0 \rightarrow E_0 / \langle l^4 * P \rangle \quad P_1 = \varphi_0(P)$$

$$\varphi_1 = E_1 \rightarrow E_1 / \langle l^3 * P_1 \rangle \quad P_2 = \varphi_0(P_1)$$

$$\varphi_2 = E_2 \rightarrow E_2 / \langle l^2 * P_2 \rangle \quad P_3 = \varphi_0(P_2)$$

$$\varphi_3 = E_3 \rightarrow E_3 / \langle l * P_3 \rangle \quad P_4 = \varphi_0(P_3)$$

$$\varphi_4 = E_4 \rightarrow E_4 / \langle P_4 \rangle$$

# Размеры ключей

---

Открытый ключ :

генераторы P и Q группы кручения

коэффициенты A, B кривой

$\sim 8 \log_2 p$  бит

$\sim 6 \log_2 p$  бит (Costello , Crypto 2016 )

$\sim 4 \log_2 p$  бит (Azarderakhsh, AsiaPKC 2016 – за счет уменьшения скорости)

Пример 1: длина характеристики поля = 768 бит:

$768/6 = 128$  - битный квантовый уровень безопасности

$768/4 = 192$  - битный классический уровень безопасности

Длина ключа  $6 \log_2 p$  бит = 4608 бит = **576** байт

Длина ключа  $4 \log_2 p$  бит = 3072 бит = **384** байт

# Размеры ключей

---

Пример 2: длина характеристики поля = 1536 бит:

$1536 / 6 = 256$  - битный квантовый уровень безопасности

$1536 / 4 = 384$  - битный классический уровень безопасности

Длина ключа  $6 \log_2 p$  бит = 9216 бит = 1152 байт

Длина ключа  $4 \log_2 p$  бит = 6144 бит = 768 байт

# Реализация для РС

---

C. Costello и др. (Microsoft Research) “Efficient algorithms for supersingular isogeny Diffie-Hellman” 2016

Результат:

~100 млн. тактов на 3,4 Гц Intel Haswell для одной из сторон

(для 128-битного квантового уровня безопасности: характеристика  $p = 2^{372} 3^{239} - 1$ ,

т.е.  $p \sim 2^{768}$ )

Половину времени занимает вычисление эфемеральных ключей.

Используется кривые Монтгомери и проективные координаты

# Реализация для ARMv7

---

R. Azarderaksh, D. Jao и др “NEON-SIDH: Efficient implementation of supersingular isogeny Diffie-Hellman Key Exchange protocol on ARM” 2016

Результаты для чипа Beagle Board Black Cortex-A8 на частоте 1 Гц

1,5 сек. для  $p \sim 2^{768}$  (128-битного квантового уровня безопасности) :

3,2 сек. для  $p \sim 2^{1024}$  (170-битного квантового уровня безопасности)

Если задействовать SIMD-инструкции NEON:

0,2 сек. для  $p \sim 2^{768}$  (128-битного квантового уровня безопасности) :

1,6 сек. для  $p \sim 2^{1024}$  (170-битного квантового уровня безопасности)

Используется кривые Монтгомери и аффинные координаты (на ARM I/M ~ 6 )

---

Спасибо !

